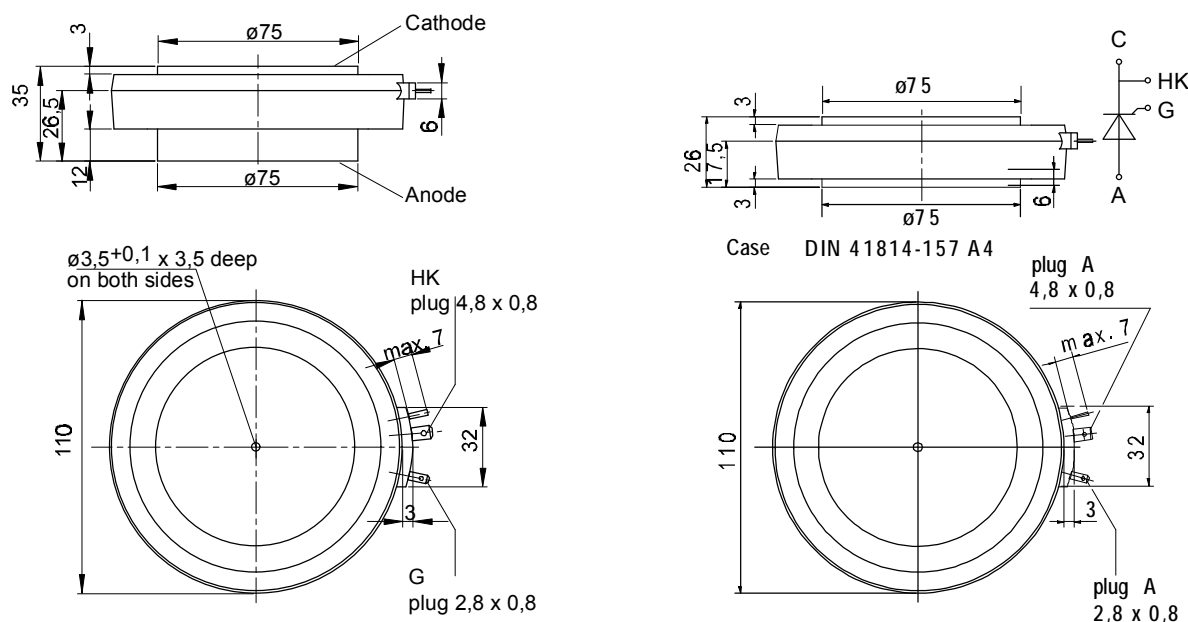


European Power-
Semiconductor and
Electronics Company

Marketing Information T 2006 N / T 2009 N

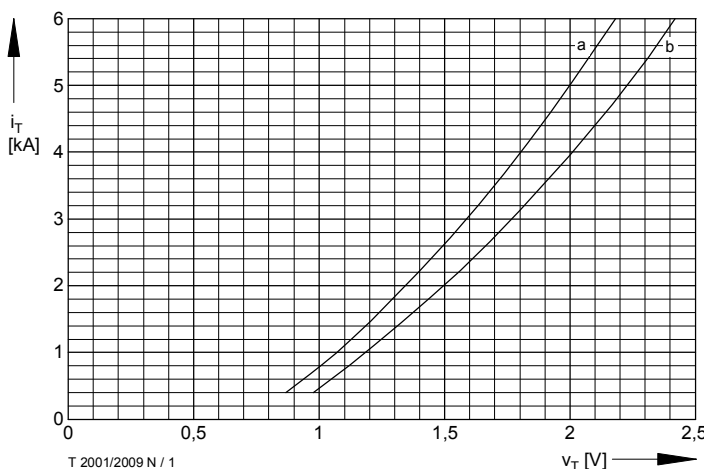


Elektrische Eigenschaften		Electrical properties				
<i>Höchstzulässige Werte</i>		<i>Maximum rated values</i>				
Periodische Vorwärts- und Rückwärts-Spitzenperrspannung		repetitive peak forward off-state and reverse voltages	$t_{vj} = -40^\circ\text{C} \dots t_{vj \max}$ $f = 50 \text{ Hz}$	$V_{\text{DRM}}, V_{\text{RRM}}$	2800 3400	3000 3200 V 3500 3600
Durchlaßstrom-Grenzeffektivwert		RMS on-state current	$t_c = 85^\circ\text{C}, f = 50 \text{ Hz}$	I_{TRMSM}	4500 A	
Dauergrenzstrom		average on-state current	$t_c = 60^\circ\text{C}, f = 50 \text{ Hz}$	I_{TAVM}	2000 A	
Stoßstrom-Grenzwert		surge current	$t_{vj} = 25^\circ\text{C}, t_p = 10 \text{ ms}$	I_{TSW}	2700 A	
Grenzlastintegral	$I^2 t$ -value		$t_{vj} = t_{vj \max}, t_p = 10 \text{ ms}$	$I^2 t$	42,5 kA	
Kritische Stromsteilheit		critical rate of rise of on-state current	$t_{vj} = 25^\circ\text{C}, t_p = 10 \text{ ms}$	$(di_{\text{G}}/dt)_{\text{cr}}$	38,5 kA	
Kritische Spannungssteilheit		critical rate of rise of off-state voltage	$t_{vj} = t_{vj \max}, t_p = 10 \text{ ms}$	$(dv/dt)_{\text{cr}}$	$9,0 \cdot 10^6 \text{ A}^2\text{s}$	
			$f = 50 \text{ Hz}, i_{\text{GM}} = 2 \text{ A}, di_{\text{G}}/dt = 4 \text{ A}/\mu\text{s}$		$7,4 \cdot 10^6 \text{ A}^2\text{s}$	
			$t_{vj} = t_{vj \max}, V_D = 0,67 V_{\text{DRM}}$		$150 \text{ A}/\mu\text{s}$	
			5. Kennbuchstabe / 5th letter F			
<i>Charakteristische Werte</i>		<i>Characteristic values</i>				
Durchlaßspannung	on-state voltage	$t_{vj} = t_{vj \max}, i_T = 2 \text{ kA}$	V_T	1,35	1,5 V	
Schleusenspannung	threshold voltage	$t_{vj} = t_{vj \max}$	$V_{T(\text{TO})}$	0,92	0,99 V	
Ersatzwiderstand	slope resistance	$t_{vj} = t_{vj \max}$	r_T	0,21	0,23 mΩ	
Durchlaßrechenkennlinien	on-state characteristics for calculation	$t_{vj} = t_{vj \max}$	A	0,549	1,107	
$V_T = A + B \cdot i_T + C \cdot \ln(i_T + 1) + D \cdot \sqrt{i_T}$			B	0,0000937	0,0000261	
Zündstrom	gate trigger current	$t_{vj} = 25^\circ\text{C}, V_D = 6 \text{ V}$	I_{GT}	max. 300 mA		
Zündspannung	gate trigger voltage	$t_{vj} = 25^\circ\text{C}, V_D = 6 \text{ V}$	V_{GT}	max. 2,5 V		
Nicht zündender Steuerstrom	gate non-trigger current	$t_{vj} = t_{vj \max}, V_D = 6 \text{ V}$	I_{GD}	20 mA		
Nicht zündende Steuerspannung	gate non-trigger voltage	$t_{vj} = t_{vj \max}, V_D = 0,5 V_{\text{DRM}}$	V_{GD}	10 mA		
Haltestrom	holding current	$t_{vj} = t_{vj \max}, V_D = 0,5 V_{\text{DRM}}$	I_H	0,4 V		
Einraststrom	latching current	$t_{vj} = 25^\circ\text{C}, V_D = 12 \text{ V}, R_A = 4,7 \Omega$	I_L	350 mA		
Vorwärts- und Rückwärts-Sperrstrom	forward off-state and reverse currents	$t_{vj} = t_{vj \max}, V_D = 12 \text{ V}, R_{\text{GK}} \geq 10 \Omega$	$i_{\text{GM}} = 2 \text{ A}, di_{\text{G}}/dt = 4 \text{ A}/\mu\text{s}, t_g = 20 \mu\text{s}$	max. 2 A		
Zündverzug	gate controlled delay time	$t_{vj} = t_{vj \max}, V_D = 0,5 V_{\text{DRM}}$	t_{gd}	300 mA		
Freiwerdezeit	circuit commutated turn-off time	$t_{vj} = t_{vj \max}, i_{\text{TM}} = 2000 \text{ A}$	t_q	100 mA		
		$V_{\text{RM}} = 100 \text{ V}, V_{\text{DM}} = 0,67 V_{\text{DRM}}$		1,5 μs		
		$dv_D/dt = 20 \text{ V}/\mu\text{s}, -di_T/dt = 10 \text{ A}/\mu\text{s}$				
		4. Kennbuchstabe / 4th letter O				
Sperrverzögerungsladung	recovered charge	$t_{vj} = t_{vj \max}$	Q_r	typ. 300 μs		
Rückstromspitze	peak reverse recovery current	$I_{\text{TM}} = 2 \text{ kA}, di/dt = 10 \text{ A}/\mu\text{s}$	I_{RM}	max. 8,5 mAs		
		$V_R = 0,5 V_{\text{RRM}}, V_{\text{RM}} = 0,8 V_{\text{RRM}}$		270 A		
Thermische Eigenschaften		Thermal properties				
Innerer Wärmewiderstand für beidseitige Kühlung	thermal resistance, junction to case for two-sided cooling	$\Theta = 180^\circ \text{ el, sin DC}$	R_{lhJC}	0,0096 °C/W		
Übergangs-Wärmewiderstand	thermal resistance, case to heatsink	beidseitig / two-sided	R_{lhCK}	0,009 °C/W		
Höchstzul. Sperrsichttemperatur	max. junction temperature		$t_{vj \max}$	0,0025 °C/W		
Betriebstemperatur	operating temperature		$t_{\text{c op}}$	125 °C		
Lagertemperatur	storage temperature		t_{stg}	-40...+125 °C		
Mechanische Eigenschaften		Mechanical properties				
Si-Element mit Druckkontakt	Si-pellet with pressure contact		F	-40...+52 kN		
Anpreßkraft	clamping force		G	typ. 1700 g		
Gewicht	weight	Typ / type T 2001 N		typ. 1200 g		
Kriechstrecke	creepage distance	Typ / type T 2009 N		33 mm		
Feuchtekategorie	humidity classification	Typ / type T 2001 N		25 mm		
Schwingfestigkeit	vibration resistance	Typ / type T 2009 N		C		
		DIN 40040		50 m/s²		
		$f = 50 \text{ Hz}$				

¹⁾ Statistische 90% -Werte zur Berechnung der Durchlaßverluste / statistical 90% values to calculate on - stat losses

Mit dieser technischen Information werden Halbleiterbauelemente spezifiziert, jedoch keine Eigenschaften zugesichert. Sie gilt in Verbindung mit den zugehörigen Technischen Erläuterungen. This technical information specifies semiconductor devices but promises no characteristics. It is valid in combination with the belonging technical notes.

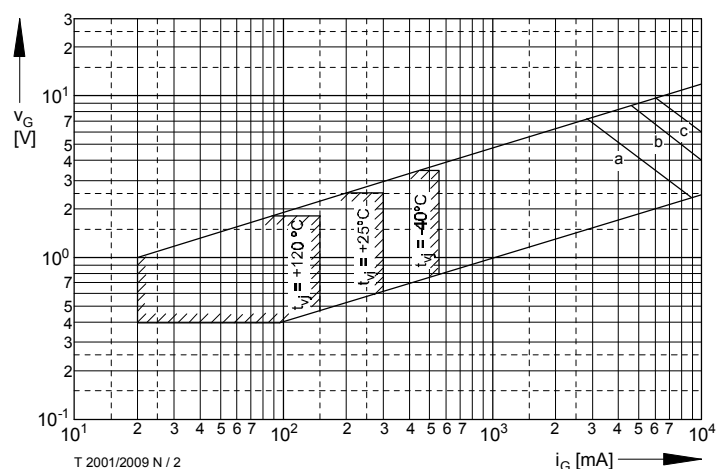
T 2006 N / T 2009 N



T 2001/2009 N / 1

Bild / Fig. 1

Durchlaßkennlinien / On-state characteristics $i_T = f(v_T)$
 a - Typische Kennlinien / Typical characteristics
 b - Grenzkennlinien / Limiting characteristics



T 2001/2009 N / 2

Bild / Fig. 2

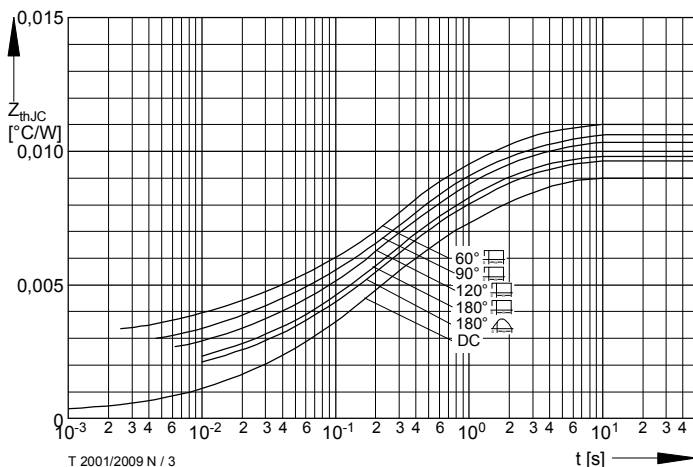
Steuercharakteristik mit Zündbereichen / Gate characteristic with triggering areas $v_G = f(i_G)$, $V_D = 6$ V
 Parameter:
 Steuerimpulsdauer / Puls duration t_g [ms] a b c
 Höchstzulässige Spitzensteuerleistung
 Maximum allowable peak gate power [W] 20 40 60

Analytische Elemente des transienten Wärmewiderstandes Z_{thJC} pro Zweig für DC
 Analytical elements of transient thermal impedance Z_{thJC} per arm for DC

Pos. n	1	2	3	4	5	Σ
R_{thn} [°C/W]	0,00237	0,004	0,0017	0,0008	0,00013	0,009
τ_n [s]	2,16	0,27	0,056	0,0068	0,0017	

Analytische Funktion / Analytical function:

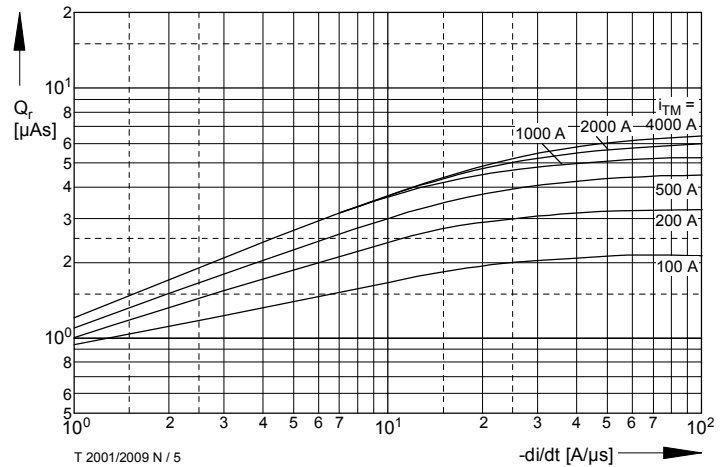
$$Z_{thJC} = \sum_{n=1}^{n_{\max}} R_{thn} (1 - e^{-\frac{t}{\tau_n}})$$



T 2001/2009 N / 3

Bild / Fig. 3

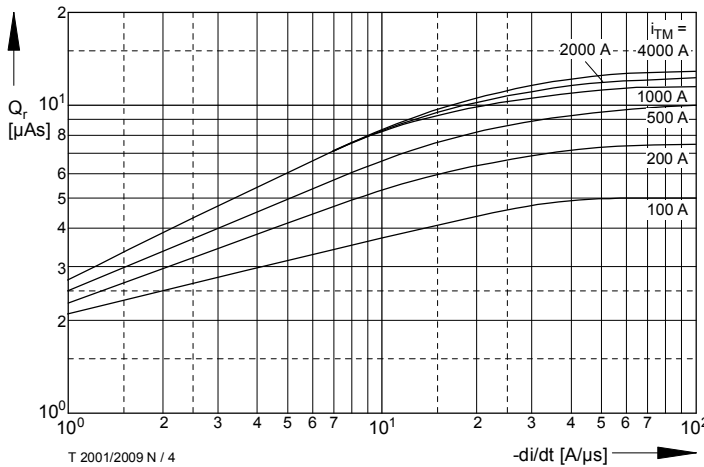
Transienter innerer Wärmewiderstand / Transient thermal impedance
 $Z_{thJC} = f(t)$
 Beidseitige Kühlung / Two-sided cooling
 Parameter: Stromflußwinkel / Current conduction angle θ



T 2001/2009 N / 5

Bild / Fig. 5

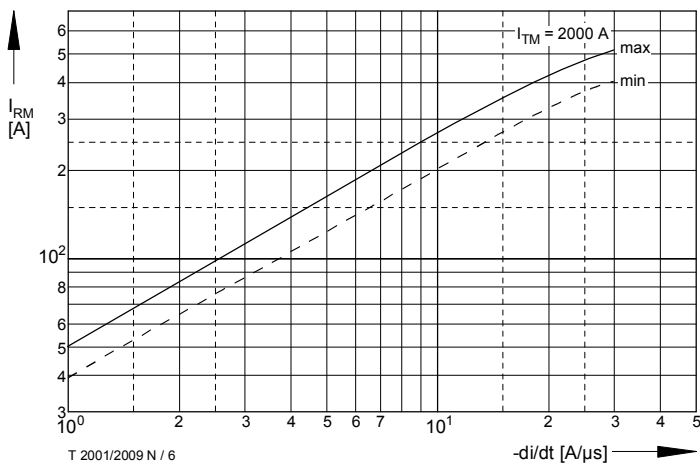
Sperrverzögerungsladung / Recovered charge $Q_r = f(di/dt)$
 Obergrenze (98% Wert) / Upper limit (98% value)
 $t_{vj} = t_{vj \max}$, $V_R \leq 0,5 V_{RRM}$,
 Parameter: Durchlaßstrom / On-state current i_{TM}



T 2001/2009 N / 4

Bild / Fig. 4

Sperrverzögerungsladung / Recovered charge $Q_r = f(di/dt)$
 Obergrenze (98% Wert) / Upper limit (98% value)
 $t_{vj} = t_{vj \max}$, $V_R \leq 0,5 V_{RRM}$,
 Parameter: Durchlaßstrom / On-state current i_{TM}



T 2001/2009 N / 6

Bild / Fig. 6
 Rückstromspitze / Peak reverse recovery current $I_{RM} = f(-di/dt)$
 Obergrenze (98% Wert) / Upper limit (98% value)
 $t_{vj} = t_{vj \max}, V_R \leq 0,5 V_{RRM}$,
 Parameter: Durchlaßstrom / On-state current i_{TM}